

202-(9) 圧縮とねじりを受けるH形鋼柱の弾塑性ねじり実験

熊本大学 正員。山尾敏孝

" " 崎元達郎

道路公團。八木弘

まえがき：鋼構造物を構成する部材が、軸力・曲げおよびねじりの組合せ応力を受けた時の弾塑性部材の剛性の評価やねじり挙動の研究は従来より盛んに行なわれてはいるが、ほとんどが開断面部材に関するものであり、開断面部材のねじり剛性、特にそり拘束の影響を考慮した場合のねじり剛性の評価法は必ずしも明確にされていない。本報告では、そり拘束の影響が大きく現実に多用される溶接H形断面部材を供試体に選び、軸力とねじりの組合せ応力を載荷し、両端部のそり拘束をした時の弾塑性ねじり挙動について実験的に調べ、並行して進めている理論解析法の仮定の妥当性やねじり剛性の評価法について検討したものである。

実験概要： 使用鋼材はヒビモ SS-41 であるが表-1の試験結果に示すように二種類の材料を用いた。供試体は溶接H形断面で強軸に対する細長比を 20~59、軸力比を 0~0.4 に変化させて組合せせたHT-1 体であり、その形状寸法、断面寸法を表-2、図-1 に示す。部材断面の溶接による残留応力を切削法により測定を行ない、その実測値と修正値を図-2 に示す。供試体への載荷は、図-3 に示すように圧縮ロードセルと回転をスムーズにするためのスラストベアリングを通して軸力を与え、トルクは供試体上部に取付けた回転円板の相対する2ヶ所にワイヤーを取り付けこれを引張ることにより与えた。供試体両端部はそりを完全に拘束するため厚鋼板を溶接し、さらにその上から押え板で押えた。下端部には、軸偏に補正および回転用として、半径 76mm の半球形のついた固定端板を付けた。ねじり角の測定は図-1 に示すように材長方向の等分点に、30cm のアングル材を取付け、その上に 25cm 間隔で 2 個の電気式変位計を一組として計 6 個セットし、軸ひずみ、せん断ひずみは端部から 2cm の A 断面に三軸 32 枚、中央断面 C には一軸 14 枚、三軸 10 枚の計 56 点である。実験では、一定軸力を与えて保持した後トルクを加え、再び軸力を補正する方法とした。

実験結果と考察：図-4 にはねじり角の材長方向に対する分布状態と HT-1 について示したものである。  
 $T = 80t/cm$  はほぼ弾塑性状態であるが、端部のそり拘束が解除され 固定端部に曲げヒンジが発生し単純ねじり状態に移行する傾向は見られず<sup>2)</sup>、図-4 材長方向ねじり角分布図 (HT-1,  $T=80t/cm$ )

表-1 材料の機械的性質

Properties	HT-1, 4, 5		HT-2, 3		
	Mill Sheet Value	Measured Sheet Value	Mill Sheet Value	Measured Sheet Value	
Plate Thickness	1 mm	6.0	5.7	6.0	5.4
Young's Modulus	E [kg/cm <sup>2</sup> ]	—	2.7x10 <sup>10</sup>	—	2.08x10 <sup>10</sup>
Stress-strain's Modulus E <sub>s</sub> [kg/cm <sup>2</sup> ]	E <sub>s</sub> [kg/cm <sup>2</sup> ]	—	1.11x10 <sup>7</sup>	—	0.33x10 <sup>7</sup>
Yield Stress	$\sigma_y$ [kg/cm <sup>2</sup> ]	2800	2810	3100	2875
Min. Strength	$\sigma_u$ [kg/cm <sup>2</sup> ]	4200	4354	4500	4230
Yield Strain	$\epsilon_y \times 10^{-3}$	—	1.450	—	1.370
Shear-straining Strain	$\epsilon_s \times 10^{-3}$	—	16700	—	26700
elongation	$\delta \%$	33.0	53.0	27.0	45.5

表-2 供試体の断面諸量

No.	L mm	$\lambda_z$	h mm	b mm	$t_r$ mm	$t_b$ mm	A cm <sup>2</sup>	$\alpha$
HT-1	652.9	20	80.6	80.4	5.6	5.6	13.34	0.2
HT-2	1280.0	39	81.4	80.0	5.9	5.9	13.45	0.2
HT-3	1935.1	59	78.9	79.9	6.1	6.1	13.74	0.2
HT-4	1277.5	40	80.3	80.9	5.6	5.6	13.38	0.0
HT-5	1277.3	40	79.9	80.7	5.6	5.6	13.35	0.4

Remarks:  $\lambda_z$  : Slenderness ratio  
 $\alpha$  : Axial load ratio ( $= P/P_y$ )

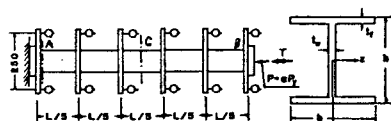


図-1 供試体の形状寸法

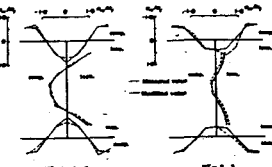


図-2 残留応力分布図

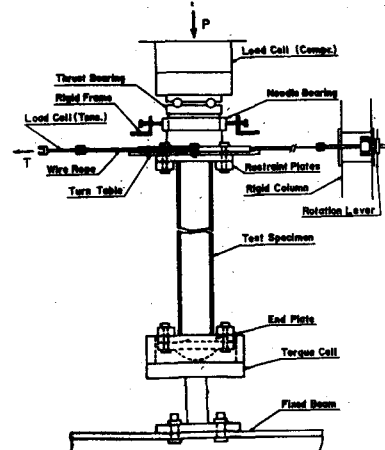


図-3 実験装置図

ほぼ弾性状態と同じであった。これは、残留応力の存在が大きいと考えられる。図-5はHT-1のA断面におけるせん断ひずみの実験値を示したものである。弾性域( $T=1.0$  t/cm)ではほぼ薄肉弾性ばり理論に従っており、せん断ひずみは十分に拘束されないと考えられる。そして端部が降伏するに従って非線形性が生じはじめ、同時にウブ(=もと圧縮ひずみ)が生じていることがわかる。なおフランジ部分の圧縮ひずみの乱れは、溶接残留応力と軸力を載荷された状態にトルクによる付加ひずみにより早期降伏を生じたためと考えられる。図-6, 7は、各供試体のトルクと材端ねじり角曲線の関係を示したものである。実験で用いた供試体はフランジ端で最大0.6 Oy の圧縮残留応力を有している(図-2)，しかも軸力を作用させるので  $T=1.5 \sim 2.0$  t/cm という比較的 図-5 (a)拘束ひずみ分布図 (HT-1) 小さなトルク荷重でフランジ端に降伏が発生した。実験値は破線で示しているが、トルクの上昇とともに、ねじり剛性の低下していく様子がよくわかる。軸力比が一定の場合(図-6)では実験値と理論解析値を比較すると HT-3 を除いて立ち上がりの勾配も良く一致し、ひずみ硬化の状態も良く表している。なお理論値は、実験値と同じ形状寸法、理想化した残留応力分布を用い、ひずみ硬化を考えた Tri-linear 型の応力-ひずみ関係を用いて計算した。HT-3 は、供試体の材長が長くなり、誤差不整が原因と考えられる。また、装置の関係上、材端ねじり角は約 2~3 rad 程度しか載荷できなかつたが、たゞ、残留応力が大きいにもかかわらず、軸力比が 0~0.2 程度では耐荷力の減少は見られなかつた。 $\alpha=0.4$  では(図-7)  $\phi_B = 1.0$  rad 附近より耐荷力が上昇しなかつたが、たゞ、局部座屈の発生は見られなかつた。図-8, 9は HT-1~3 の中央断面ウブ中央におけるせん断ひずみと、軸ひずみの実験値である。中央断面のせん断ひずみは、断面が一部塑性化しても直線性を保つ、ひずみ増加は見られず、線形性を保つ。図-6 の T- $\phi_B$  曲線で耐荷力の上昇が小さくなる頃から、直線性が変化していい。これらの事より理論解析における St. Venant のせん断ひずみは、断面の一部が塑性化しても直線性を保つといふ仮定の妥当性が示された。又、これらの断面では、せん断ひずみ及び軸ひずみの两者より相当塑性ひずみを計算しても直線性を保つといふこともわかつた。図-10は、HT-3 のねじり変形後の状態を示したものである。以下計算は九州大学大型計算機センターの M-200 によつた。

### 参考文献

- 1). 山尾・崎元・菊池：「薄肉断面ばりの非線形解析」 第35回年講概要集 昭和55年7月
- 2). 鈴木・木村：「H型鋼の弾塑性挙動」 日本建築学会論文報告集 オ180号 昭和56年2月

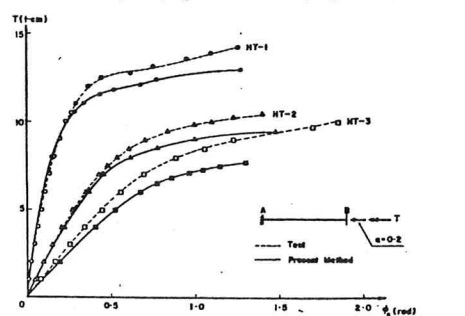
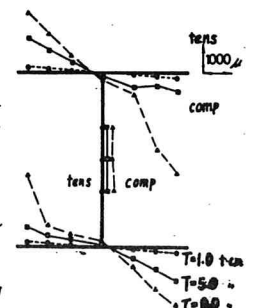


図-6 T- $\phi_B$  曲線 (軸力比一定)

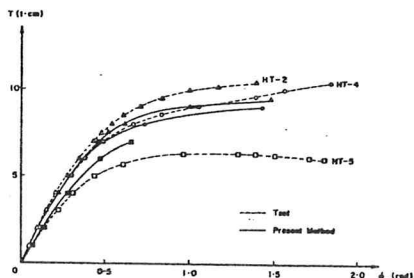


図-7 T- $\phi_B$  曲線 (材長比一定)

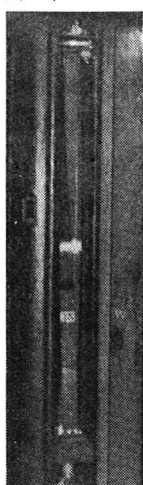


図-10 ねじり変形後の供試体 (HT-3)

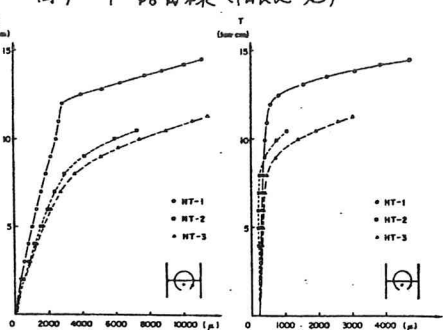


図-8 T- $\sigma$  曲線

図-9 T- $\epsilon$  曲線